

Apéndice D. Correlación de Pearson para las muestras de AGCC y contraste de normalidad de Shapiro-Wilk para las muestras de AGCC, AGCESTG y AGCT

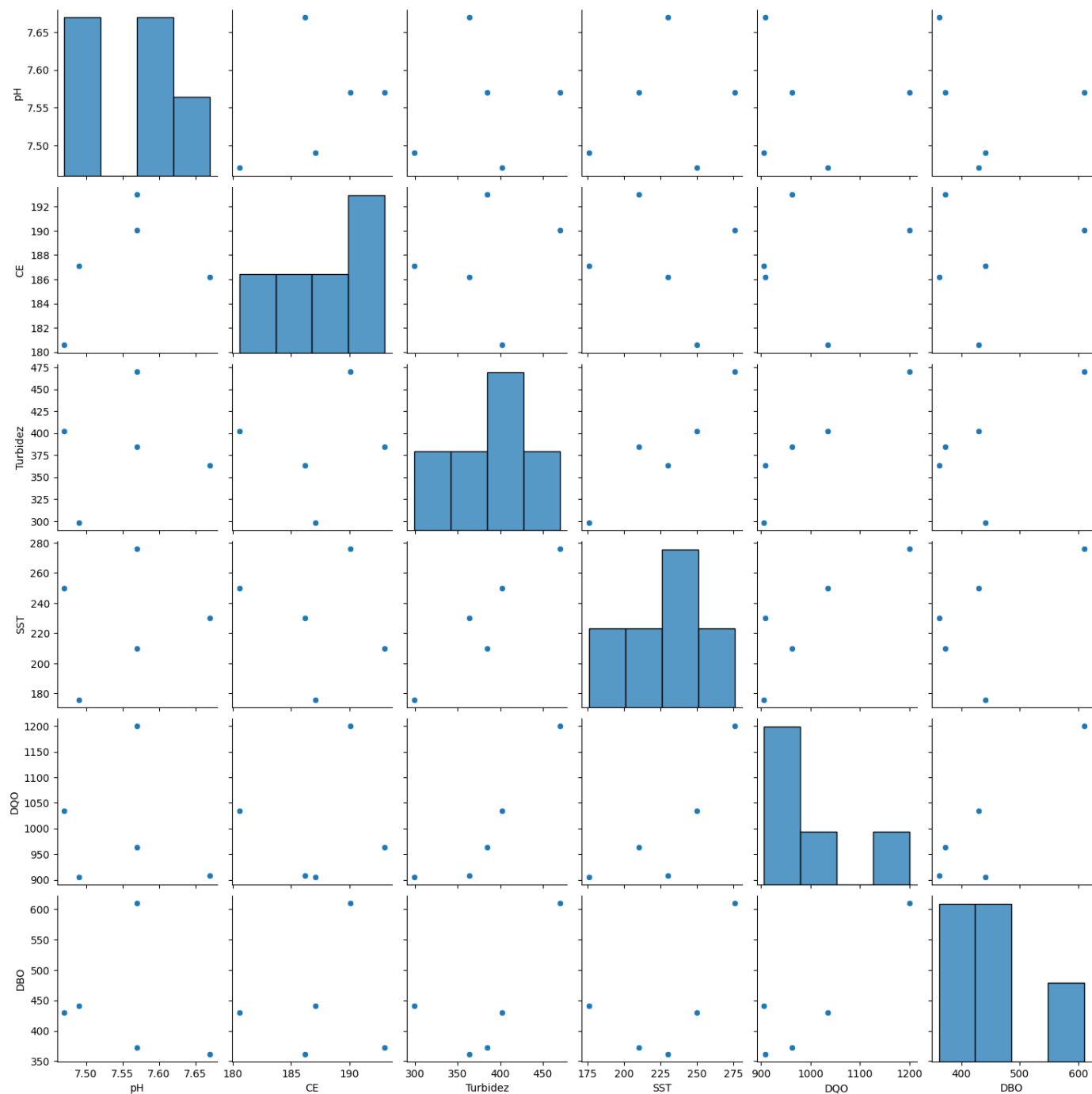


Figura 1. Diagrama de dispersión por pares de variables, para los seis parámetros del agua gris clara cruda (AGCC).

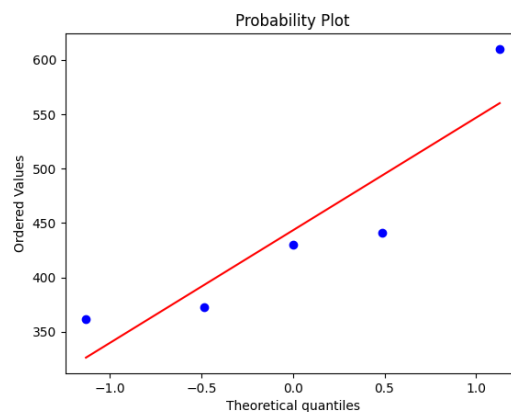
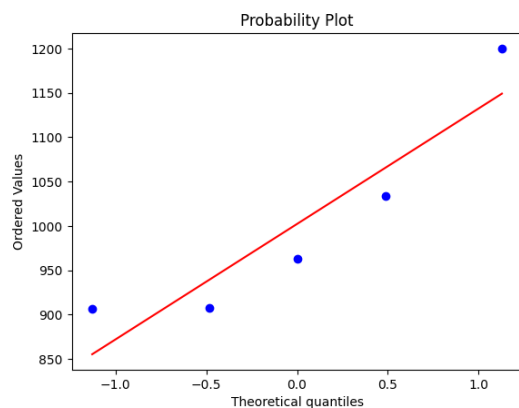
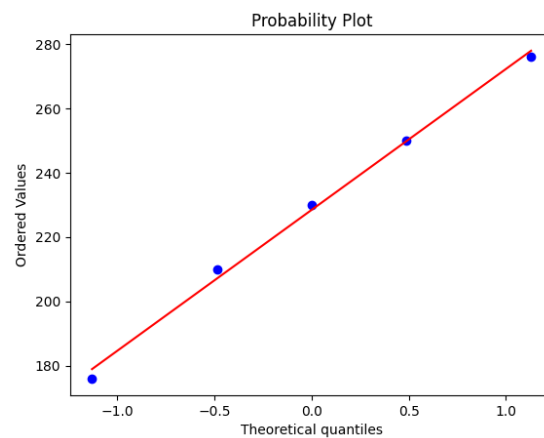
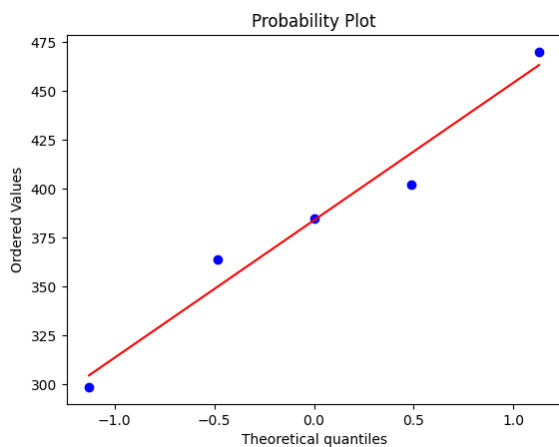
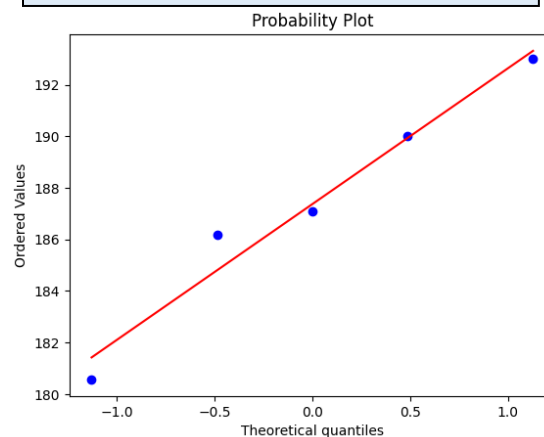
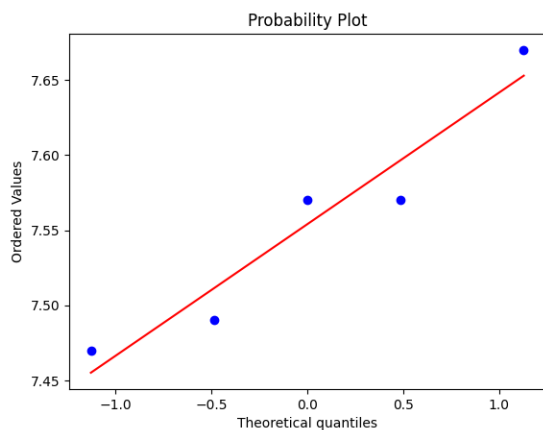


Figura 2. Q-Q plot Normal y contraste de Normalidad Shapiro-Wilk para pH, CE, turbidez, SST, DQO y DBO₅, de las muestras de AGCC.

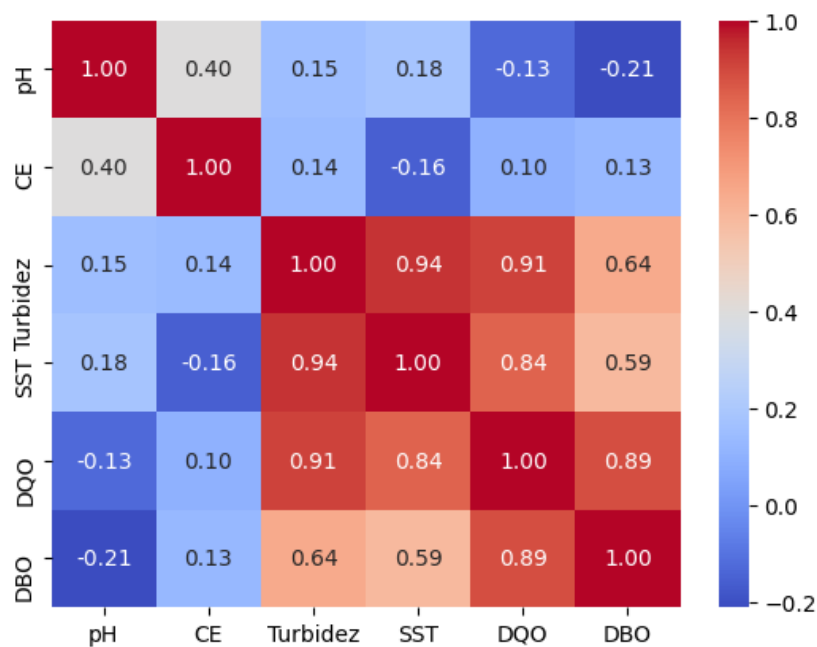


Figura 3. Mapa de calor con la matriz de correlaciones de Pearson para los seis parámetros de AGCC.

Tabla 1. Tabla con los valores de correlaciones y significancias de Pearson para los seis parámetros de AGCC.

| | X | Y | n | r | p-unc |
|----|----------|----------|---|-----------|----------|
| 11 | Turbidez | SST | 5 | 0.940358 | 0.017328 |
| 9 | Turbidez | DQO | 5 | 0.911253 | 0.031311 |
| 12 | DQO | DBO | 5 | 0.888308 | 0.044051 |
| 13 | DQO | SST | 5 | 0.842346 | 0.073341 |
| 10 | Turbidez | DBO | 5 | 0.642743 | 0.242125 |
| 14 | DBO | SST | 5 | 0.588944 | 0.296077 |
| 0 | pH | CE | 5 | 0.395556 | 0.509823 |
| 3 | pH | DBO | 5 | -0.210226 | 0.734317 |
| 4 | pH | SST | 5 | 0.181301 | 0.770432 |
| 8 | CE | SST | 5 | -0.155828 | 0.802400 |
| 1 | pH | Turbidez | 5 | 0.150113 | 0.809591 |
| 5 | CE | Turbidez | 5 | 0.137513 | 0.825467 |
| 7 | CE | DBO | 5 | 0.127773 | 0.837758 |
| 2 | pH | DQO | 5 | -0.126528 | 0.839330 |
| 6 | CE | DQO | 5 | 0.101171 | 0.871405 |

Tabla 2. Tabla con los resultados de la prueba de Normalidad de Shapiro-Wilk para los seis parámetros seleccionados de las muestras de AGCC, agua gris clara efluente de sedimentación y trampa de grasas (AGCESTG) y agua gris clara tratada (AGCT).

| Prueba de Normalidad de Shapiro-Wilk para muestras de AGCC, AGCESTG y AGCT | | | | | |
|--|------------------|---------------------|-------------|----------------|-------------|
| Muestra del AGC | Parámetro | Unidades | Estadístico | <i>p_value</i> | ¿Es normal? |
| AGCC | pH | - | 0.923 | 0.547 | SI |
| AGCC | CE | μS/cm | 0.997 | 0.916 | SI |
| AGCC | Turbidez | NTU | 0.984 | 0.954 | SI |
| AGCC | SST | mg/L | 0.996 | 0.995 | SI |
| AGCC | DQO | mgO ₂ /L | 0.853 | 0.203 | SI |
| AGCC | DBO ₅ | mgO ₂ /L | 0.831 | 0.142 | SI |
| AGCESTG | pH | - | 0.852 | 0.202 | SI |
| AGCESTG | CE | μS/cm | 0.956 | 0.783 | SI |
| AGCESTG | Turbidez | mg/L | 0.975 | 0.905 | SI |
| AGCESTG | DQO | mgO ₂ /L | 0.903 | 0.428 | SI |
| AGCT | pH | - | 0.881 | 0.314 | SI |
| AGCT | CE | μS/cm | 0.898 | 0.397 | SI |
| AGCT | Turbidez | NTU | 0.975 | 0.907 | SI |
| AGCT | SST | mg/L | 0.963 | 0.826 | SI |
| AGCT | DQO | mgO ₂ /L | 0.838 | 0.159 | SI |
| AGCT | DBO ₅ | mgO ₂ /L | 0.792 | 0.069 | SI |